

YAPAY SİNİR AĞLARI KULLANIMI İLE YÜKSEK SICAKLIKLI GAZ SOĞUTMALI NÜKLEER REAKTÖRLERDE ÖLÇÜLEMEMEYEN FİZİKSEL BÜYÜKLÜKLERİN BELİRLENMESİ

Emine AYAZ¹

Serhat ŞEKER²

Burak BARUTÇU³

^{1,2}İTÜ Elektrik Mühendisliği Bölümü, 80626, Maslak, İstanbul

³İTÜ Nükleer Enerji Enstitüsü, 80626, Maslak, İstanbul

e-posta: ¹ayaz@elk.itu.edu.tr ²seker@elk.itu.edu.tr ³barutcu@nukleer.itu.edu.tr

Anahtar sözcükler: Yapay Sinir Ağı, Yüksek Sıcaklıklı Mühendislik Test Reaktörü, Simülasyon.

ÖZET

Bu çalışma gerçek zamanda, güç üretimi esnasında nükleer santraldeki bozucu durumları belirlemeye Yapay Sinir Ağlarından (YSA) nasıl yararlanılacağını gösterir. Çalışmada kullanılan veri, Japonya'daki Yüksek Sıcaklıklı Mühendislik Test Reaktörü (YSTR)'ünün güçte işletimi için simülle edilmiştir. Gökçen işletiminin geniş bir aralığında elde edilen 56 farklı işaret reaktör dinamigi simülasyon kodu yardımcı ile bir kaç saatlik bir süre için farklı güç eğilimlerinde, 30-100% nominal güç aralığında üretilmiştir. YSA uygulamaları ile de sisteme ilişkin ölçülebilir fiziki büyüklüklerden ölçülemeyen fiziki büyüklüklerin belirlenmesi gerçekleştirılmıştır.

1. GİRİŞ

Yavaşlatıcı olarak grafit ve soğutucu olarak helyum gazi kullanan Yüksek Sıcaklıklı Gaz Soğutmalı Reaktör (YSGR) [1], 1000°C'a yakın sıcaklıklar sağlayabilir. Bu sadece elektrik üretimi alanında faydalananın bir olanak değil, aynı zamanda endüstriyel ısı işlevlerde yararlanılacak bir imkandır.

Japon Atom Enerji Enstitüsü (JEARI), ilk olarak 1998'in Kasım ayında kritik hale gelen, çıkış sıcaklığı 950°C, termal gücü 30 MW olan bir Yüksek Sıcaklıklı Mühendislik Test Reaktörünü (YSTR) Oarai de kurdu ve. Bundaki amaç yüksek sıcaklık mühendisliğindeki yenilikçi temel araştırmaları yapmak ve ısıl kullanımına yönelik olarak deneyel çalışmalar yapmaktadır. Ayrıca buradaki nükleer ısı, buharın oluşması esnasında metandan yanma öncesi CO₂ in ayrıştırılması ile açıkta kalacak olan metan gazının kullanımı ile, hidrojen üretimi amaçlı olarak da kullanılabilecektir [2,3]. Nükleer reaktör dinamığının ve ısıl yararlanma sisteminin farklı olmasından dolayı, reaktör açma ve kapama esnasında veya yük değişimi ve kaza gibi durumlarda herhangi bir negatif etkinin sisteme yayılmasını önlemek için, tüm sistem yeterli sayıda ölçme cihazı ile donatılmıştır. Bu sebeple böyle bir sisteme test amaçlı olarak YSA teknikleri kullanılırken, sistem izleme ve buhar oluşumunda da bulanık denetim (fuzzy control) gibi ileri denetim sistemlerinin kullanımı düşünülebilir. YSTR, 2007 yılı civarında hidrojen üretmek için planlanmıştır. İleri yönlü YSA uygulaması ise, 1993'ten beri kullanılmakta olup, Hollanda'da basıncılı sulu reaktör (PWR)'ler için geliştirilmiştir [4-10]. Kullanılan

gerçek zaman sistemi, ileri yönlü uyarlamalı YSA'larının kompleks ve dinamik sistemlerin modellenmesi için çok uygun olduğunu göstermiştir ve ayrıca izleme sistemi de bu teknik vasıtasyyla geleneksel uyarı sistemlerine göre, küçük bozucu etkilerin erken belirlenmesinde çok daha başarılı olmuştur.

YSTR henüz 30 MW'lık nominal işletim gücünden olmasına rağmen 2001 yılı civarında bu güçte erişmesi beklenmektedir. Bu sebeple, reaktör işletimi bir kaç saatlik güç işletiminin geniş bir aralığı içinde ACCORD dinamik kodu kullanılarak simülle edilmiştir ve tüm santraldan (hidrojen üretim kısmı dışında) 56 işaret YSA tekniklerinin denenmesi için üretilmiştir. Simülle edilmiş reaktör işletimi ve veri üretimi ikinci bölümde kısaca verilecektir.

2. YÜKSEK SICAKLIKLI GAZ SOĞUTMALI REAKTÖR VE SIMÜLASYONU

Japonya'da bulunan Yüksek Sıcaklıklı Mühendislik Test Reaktöründe (YSTR) güvenli işletimin tanıtılacak olan deneme, yüksek sıcaklıklı gaz soğutmalı reaktörlerin gelecekteki modellerinin güvenirligini de ortaya çıkartacaktır. Yapısal olarak YSTR, 30 MW'lık termal güç sahiptir ve reaktör kalbi, ana soğutma sistemi, yardımcı soğutma sistemi ve kanal soğutma sisteminden oluşur. Şekil-1 santralin şeklini ve simülasyonun yapıldığı 56 işaretin yerlerini göstermektedir. Aktif reaktör kalbi 30 prizmatik yakıt sütunu içerip, yüksekliği 2.9 m ve eşdeğer çapı 2.3 m'dir. Reaktörün soğutucu giriş sıcaklığı 395°C dir ve soğutucu çıkış sıcaklığı ise 850-950°C'tır. ağırlıkça ortalamala %6 zenginleştirilmiş UO₂ yakıt kullanmaktadır. Santral dinamik analiz kodu ACCORD, geniş güç aralığı içinde santral işletimini simülle etmek için ve güvenlilik gösterimine ilişkin testi öngörmek için kullanılmıştır. YSTR reaktörü sistemi içindeki Ara Işı Degistirici'ye (IHX) 950°C'ta 10 MW'lık ısıyı sağlar ve bu ısı, hidrojen üretiminde yararlanılmak üzere ikincil helyum çevrimine transfer edilir. Santral simülasyon kodu ACCORD'un esas karakteristikleri aşağıdaki gibi verilebilir [11].

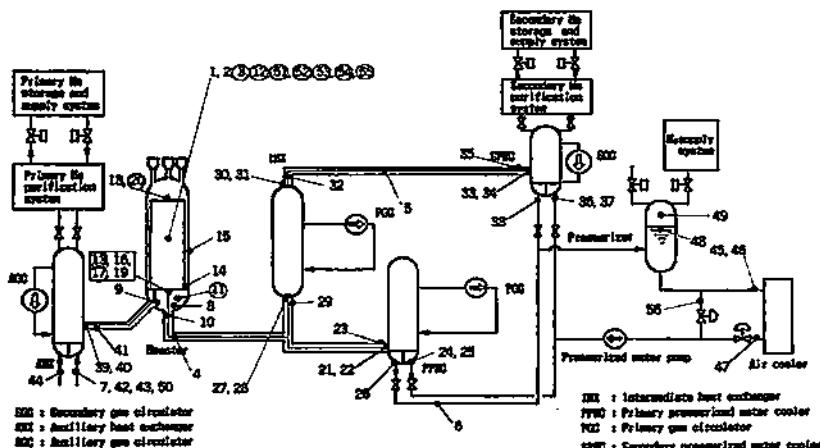
- Santral, bir olay meydana geldikten sonra reaktör kalbinin ısı kapasitesini modelleyerek uzun bir işletim için simülle edilebilir.

- Kalp içi santral dinamigi, teker teker santral elemanlarını simüle eden yazılım paketlerini yeniden düzenleyerek analiz edilebilir.
- Termal hidrolik durum, helyum kalp soğutma devresi ve basıncı su soğutma sistemi arasında her bir eleman için ısı transfer hesaplamalarını ayrıarak analiz edilebilir.

Yapılması düşünülen simülasyon, 56 işaret durumu seçilerek meydana getirilir. Bu durumda her biri 10 dakikalık aralıktır simüle edilmiş örnekler, YSA uygulamasında kullanılmak üzere seçilir ve simüle edilmiş reaktör işletimini gösteren 1182 örüntü (örnek) elde edilir. İlk önce $P_n=30$ MW'lik nominal güçten %50'sinden baslayarak reaktör 1 saat içinde kararlı duruma ulaşır. Reaktör gücü, saat başına %1.5'lük güç artışı ile %100'e çıkartılır sonra güç

stabilize edilir ve tekrar aynı hızla %30'luk nominal güç miktarına kadar azaltılır ve bu seviyede 5 saatlik işletimden sonra 1.75%/saatlik hızla % 100'lük nominal güçte çıkartılır, sonra yeniden stabilize edilir. Güç stabilizasyonu esnasında birincil gaz vantilatörünün dönme hızını bozarak küçük bir perturbasyon oluştururken, güç %50 P_n 'ye kadar azaltılır.

ACCORD kodu, modüler yapı üzerine temellenmiş olarak tasarlanmıştır. Bunlar sırasıyla reaktivite kontrol modülü, güvenlik koruma modülü ve kontrol modülüdür. Tablo-1'de ACCORD simülasyonun çıkış parametreleri verilmiştir (birimler kodda kullanılan birimlerdir).



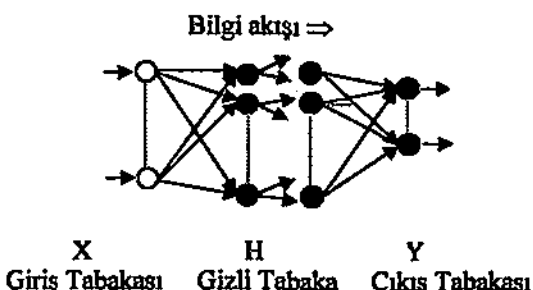
Şekil-1. YSTR şematik gösterimi ve simüle edilmiş işaretlerin yerleri.

Tablo-1. YSA uygulaması için ACCORD'un çıkış parametreleri.

| No. | Parametreler | Birim | No. | Parametreler | Birim |
|------|--|-----------------------|------|--|-----------------------|
| 1-I | Reaktör Gücü | MW | 29 | IHX Gövde çıkışında birincil soğutma sıcaklığı | °C |
| 2-O | Toplam Reaktivite | dk/k | 30 | IHX Birincil soğutma giriş sıcaklığı | °C |
| 3 | Maksimum Yakıt Sıcaklığı | °C | 31 | IHX Birincil soğutma akış hızı | kg/sec |
| 4 | Birincil soğutma Basıncı | kgf/cm ² a | 32 | IHX Birincil soğutucu çıkış sıcaklığı | °C |
| 5 | Birincil soğutma Basıncı | kgf/cm ² a | 33 | 10MW PWC Birincil soğutucu giriş sıcaklığı | °C |
| 6 | Basıncı Su Sistemi Basıncı | kgf/cm ² a | 34 | 10MW PWC Birincil soğutma akış hızı | kg/sec |
| 7 | Yardımcı Soğutma Sistemi Basıncı | kgf/cm ² a | 35 | 10MW PWC Gövde çıkışında soğutucu sıcaklığı | °C |
| 8-I | Birincil soğutma sistemi çıkış sıcaklığı | °C | 36 | 10 MW PWC Basıncılı su giriş sıcaklığı | °C |
| 9 | Yardımcı Ho Sistemi Reaktör giriş sıcaklığı | °C | 37 | 10MW PWC Basıncılı su akış hızı | kg/sec |
| 10 | Birincil soğutma sistemi çıkış sıcaklığı | °C | 38 | 10MW PWC Basınçlandırılmış su çıkış sıcaklığı | °C |
| 11 | Reaktör alt konumunda birincil soğutma akış hızı | kg/sec | 39 | Yardımcı soğutucu birincil soğutucu giriş sıcaklığı | °C |
| 12-O | Reaktivite Xe-Yoğunluğu | dk/k | 40 | Yardımcı soğutucu Birincil soğutucu akış hızı | kg/sec |
| 13 | Aşağıdaki birinci soğutma sıcaklığı | °C | 41 | Gövde çıkışında yardımcı soğutucu soğutma sıcaklığı | °C |
| 14 | Kalp girişinde birinci soğutma sıcaklığı | °C | 42 | Yardımcı soğutucu basınçlandırılmış su giriş sıcaklığı | °C |
| 15 | Reaktör kiralı sıcaklığı | °C | 43 | Yardımcı soğutucu basınçlandırılmış su akış hızı | kg/sec |
| 16 | Kalp çıkışında birinci soğutma sıcaklığı | °C | 44 | Yardımcı soğutucu basınçlandırılmış su giriş sıcaklığı | °C |
| 17 | Kalp çıkışında birinci soğutma akış hızı | kg/sec | 45 | Hava soğutucusu girişinde basınçlandırılmış su sıcaklığı | °C |
| 18-I | Kalp giriş sıcaklığı | °C | 46 | Hava soğutucusu girişinde basınçlandırılmış su akış hızı | kg/sec |
| 19-I | Kalp çıkış sıcaklığı | °C | 47 | Hava soğutucusu çıkışında basınçandrılmış su sıcaklığı | °C |
| 20 | Kalpede Birincil soğutma akış hızı | kg/sec | 48 | Basınçlandırılmış su sistemindeki basınçandrıcının su seviyesi | m |
| 21 | 20 MW PWC Birincil soğutma giriş sıcaklığı | °C | 49 | Basınçandrıcının su sistemindeki basınçandrıcının iç basıncı | kgf/cm ² a |
| 22 | 20MW PWC Birincil soğutma akış hızı | kg/sec | 50 | Yardımcı su sistemi ve hava soğutucusundan basınçandrıcının su çıkış sıcaklığı | °C |
| 23 | 20 MW PWC Birincil soğutma çıkış sıcaklığı | °C | 51-O | Ortalama yakıt sıcaklığı | °C |
| 24 | 20MW PWC Basınçandrıcının su giriş sıcaklığı | °C | 52-O | Ortalama moderatör sıcaklığı | °C |
| 25 | 20MW PWC Basınçandrıcının su akış hızı | kg/sec | 53-O | Doppler Reaktivitesi | dk/k |
| 26 | 20MW PWC Basınçandrıcının su çıkış sıcaklığı | °C | 54-O | Moderator Reaktivitesi | dk/k |
| 27 | IHX Birincil soğutucu giriş sıcaklığı | °C | 55-O | Reaktivite kontrol sistemi | dk/k |
| 28 | IHX Birincil soğutma akış hızı | kg/sec | 56 | Akış by-pass işlemi ile hava soğutucu | kg/sec |

3. SİSTEMİN YAPAY SINİR AĞI TABANLI MODELLENMESİ

Basit ileri-beslemeli bir yapay sinir ağı (YSA), bir giriş tabakası, bir veya daha çok gizli tabaka ve bir çıkış tabakası olmak üzere temel üç bileşenden oluşur (Şekil-2).



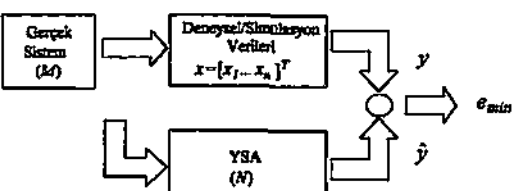
Şekil-2. Çok tabaklı ileri-beslemeli ağın genel yapısı.

Sinir ağının her bir tabakası "düğüm" ya da "nöron" denilen bir grup işlem ünitesi içerir. Bir ağ tabakasındaki her düğüm, çıkışını -bilgi akışı doğrultusunda-, bir sonraki tabakada bulunan bütün işleme elemanlarına gönderir. Fakat aynı tabakaya dahil düğümler arasında bağlantı yoktur. Sinir ağının giriş tabakası, dışarıdan aldığı bilgiyi ağın iç işlem ünitelerine aktaran bir arabirim görevini yapar. Gizli tabakalar, bilgi akışı esnasında özellik çıkarma için kullanılır. Çıkış tabakası sistem çıkışını verir. İleri beslemeli YSA'nın kullanımında başlıca iki adım vardır. Biri öğretme ve diğerinin de geri çağrımadır.

3.1 MATEMATİKSEL YAPI

$x = [x_1, x_2, \dots, x_n]^T$ girişleri (örneğin deneyel veriler) ve bunlara karşılık $y(x) = [y_1, y_2, \dots, y_m]^T$ çıkışları olan bir sistem tanımlayalım. Giriş uzayı $X: \{x \in X | x \text{ sistemin giriş}\}$ ile çıkış uzayı $Y: \{y(x) \in Y | y \text{ sistemin } x \text{ girişine karşılık gelen çıkış}\}$ arاسmda bir M ilişkisi kurmak kullanışlı olacaktır. Bu ilişki (1) denkleminde ve Şekil-3'te gösterilmiştir.

$$M: X \rightarrow Y \quad (1)$$



Şekil-3. Gerçek sistem ve YSA arasındaki giriş-çıkış ilişkisinin şematik gösterimi.

Ağın öğretim süreci, ağın iç parametrelerini (veya ağırlıklarını) w ayarlayarak giriş ile çıkış arasındaki M ilişkisine mümkün olduğu kadar yaklaşmak şeklinde düşünülebilir.

$$\min_{w \in W} \|\hat{y}(x|w) - y(x)\|, \forall x \in X \quad (2)$$

Böylece p örüntüsünün öğretimindeki öğrenme hatası e_p , (3) denklemi ile ifade edilebilir:

$$e_p = e(x_p, w) = \|\hat{y}(x_p, w) - y(x_p)\| \quad (3)$$

Ağın öğretim esnasındaki hatası, bütün örüntüler için en küçükçe indirilir. Bu değer (4) denklemiyle bulunur:

$$E(w) = \frac{1}{P} \sum_{p=1}^P e(x_p, w) \quad (4)$$

Bu çalışmada, (4) denkleminde verilen hata fonksiyonunu en küçükçe indirmek için geri-yayılma (backpropagation) algoritması (GYA) kullanılmıştır.

Geri-yayılma algoritması çok kullanılan ve öğretimde hatayı en hızlı düşüren algoritmadır. Denklem (4) de ifade edilen E hatasını en küçükçe indirmek için optimal bir w arar. Yöntem aşağıdaki gibidir:

$$1) \frac{\partial E}{\partial w} \text{ hesaplanır.}$$

2) Ağırlıklar $w(n)$ 'den $w(n+1)$ 'e güncellenir.

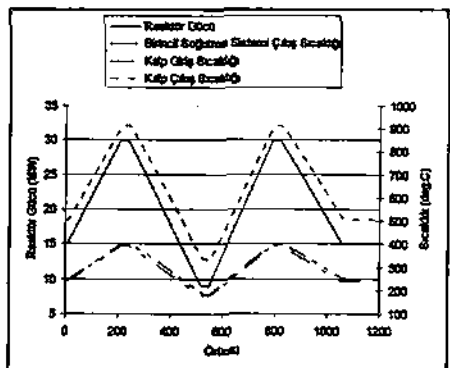
$$w(n+1) = w(n) + \Delta w(n) \quad (5)$$

$$\Delta w_j(n+1) = \eta \delta_j o_j + \alpha \Delta w_j(n) \quad (6)$$

Buradaki (6) denklemine delta kuralı denir. Ağ ağırlıklarını adapte etmek için çok kullanılan bir yoldur. Bu eşitlikte, η 'ya öğrenme hızı denir. $\alpha \Delta w$, ise momentum terimi diye adlandırılır ve ağırlık güncelleme eşitliğinde, lokal minimumu eliminere etmek için kullanılır.

4. UYGULAMA

YSTR'nın işletimi sırasında bilinmesi gereken önemli parametreler; *Toplam Reaktivite*, *Xe Yoğunluğundan gelen Reaktivite*, *Ortalama Yakıt Sıcaklığı*, *Ortalama Moderator Sıcaklığı*, *Doppler Reaktivitesi*, *Moderatör Reaktivitesi* ve *Kontrol Sistemi Reaktivitesi*dir. Bu parametrelerin bilinmesi reaktörün güvenli bir şekilde işletimi açısından son derece önemlidir. Birlikte bunları ölçme imkanı yoktur ve bunlar ancak ölçülebilir parametreleri kullanarak birtakım hesaplamalar yoluyla elde edilirler. Bu çalışmada, YSTR'nın ölçülemeyen bu fiziksel büyüklükleri, öğrenebilin bir sistem olan yapay sinir ağları kullanılarak elde edilmiştir. Ağ yapısı 4 giriş ve 7 çıkış düğümü ile birlikte bir gizli tabaka içerir. Bu tabakadaki gizli nöron sayısı 10'dur. YSA'da giriş olarak Tablo-1'de "I" ile gösterilmiş 4 tane ölçülebilir parametre kullanılmış olup bu işaretler Şekil-4'te gösterilmiştir. Çıkış olarak da, aynı tabloda "O" ile gösterilmiş 7 tane ölçülemeyen büyüklik kullanılmıştır.



Şekil-4. YSA'da kullanılan giriş işaretleri: Reaktör Güçü (sol eksen), Sıcaklıklar (sağ eksen).

Bu ağ 1-660 örümctüyle yeterli eğitim yapıldıktan sonra türm örümctü (1182) için test edilmiştir ve sonuçlar Şekil-5'te verilmiştir.

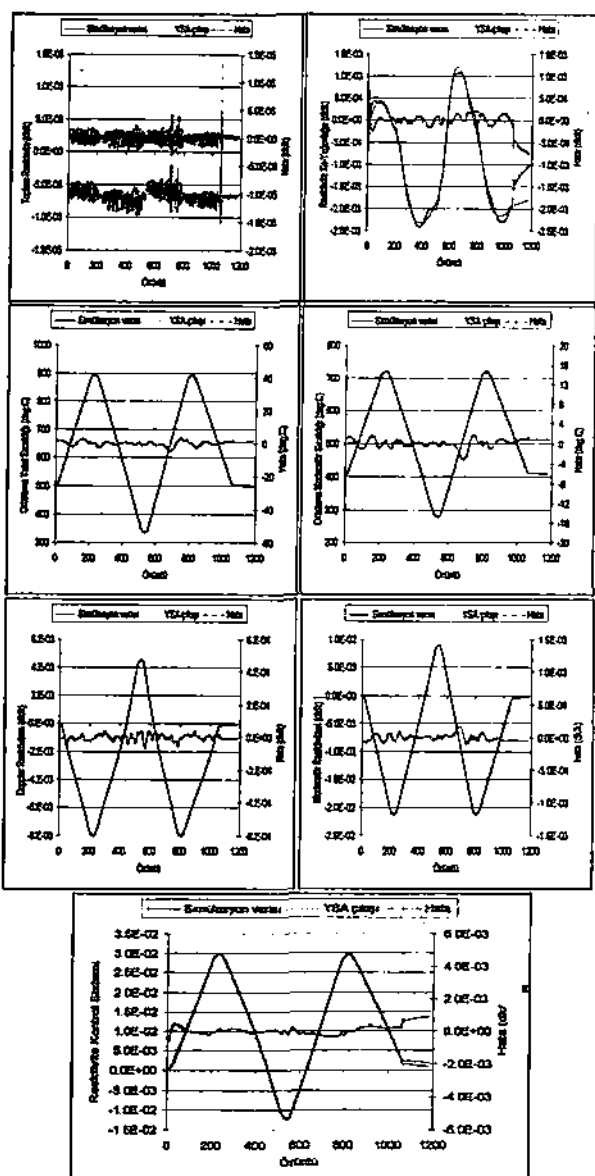
Şekil-5'teki toplam reaktivite verisi ve bunun YSA çıkışına bakıldığından burada YSA'nın bir filtre gibi davranışının olduğu görülmür ve hata diğer şıklere kıyaslama bütünlüğü. Fakat bu değer Şekil-5'te gösterilen diğer reaktivitelerin toplamı biçiminde olduğundan ve YSA çıkışında diğer reaktiviteler çok az hata ile öngörülebildiğinden bu bütünlük için YSA çıkışının pek önemi yoktur. Bu uygulamada YSA, tüm veriler için yüksek performans göstermiştir.

5. SONUÇLAR

Bu çalışmada nükleer teknoloji alanında gelişmesi beklenen bir reaktör tipi olan Yüksek Sıcaklık Gaz Soğutmalı (YSGS) reaktör yapısı tanıtılmış olup, YSGS'nin ıslık işlemler bakımından da önemi vurgulanmıştır. Ayrıca reaktör simülasyonu vasıtasiyla elde edilen verilere YSA uygulaması yapılarak 3 tabakalı (4:10:7) ağ modelinde *Gerieme Yayılm Algoritmasının* (GYA) kullanımı ile reaktörde, *Güç, Birincil Soğutma Sistemi Çıkış Sıcaklığı, Kalp Giriş Sıcaklığı ve Kalp Çıkış Sıcaklığından* oluşan girişlere karşı *Toplam Reaktivite, Xe Yoğunluğundan gelen Reaktivite, Ortalama Yakıt Sıcaklığı, Ortalama Moderator Sıcaklığı, Doppler Reaktivitesi, Moderator Reaktivitesi ve Kontrol Sistemi Reaktivitesi* şeklindeki 7 ölçülemeyen fizikselli bütünlük oldukça hassas olarak belirlenmiştir.

TEŞEKKÜR

Yazarlar, bu çalışmada kullanılan veriler için; Japon Atom Enerji Enstitüsü-JEARI ve JEARI&IRI/ECN-Holland ortaklığında çalışmaları koordine eden Sn. E. TÜRKCAN'a teşekkür ederler.



Şekil-5. YSA modelinde kullanılan simülasyon verileri ve bunlara ait YSA çıkışları (sol eksen) ile hesapla hatalarının (sağ eksen) değişimini.

KAYNAKLAR

- [1] Saito, S. et.al., Design of HTTR, JEARI 1332, Japan Atomic Energy Research Institute , 1994.
- [2] Hada, K., et al.: Proc. 3rd JAERI Symposium on HTGR Technologies, 1996.
- [3] Y. Inagaki, et al., Out-of-pile Demonstration Test of Hydrogen Production System Coupling With HTTR, 7th International Conference on Nuclear Engineering, Tokyo, Japan, Nisan 19-23, 1999.

- [4] Türkcan E., et.al., Neural Networks for real-time NPP monitoring, *Nuclear Europe WorldScan*, No.11/12, 31 1993.
- [5] Türkcan E., et.al., On-Line Operator Support System Integrated with Monitoring and Diagnosis System, *ECN-RX—93-065*, 1993.
- [6] Nabeshima K, K.Suzuki and E.Türkcan et al., "Neural Network with an Expert System for Real-time Nuclear Power plant Monitoring", *SMORN-VII ,A Symposium on Nuclear reactor Surveillance and Diagnostics*, AEN/NEA-OECD, Avignon France, 19-23 Haziran 1995.
- [7] Nabeshima K., et.al., " Real-time NPP monitoring with neural network", *Journal of NUCLEAR SCIENCE and TECHNOLOGY*, 35, No. 2, 93-100 ,Şubat 1998.
- [8] Türkcan E., et.al., " Application of Adaptive Neural Networks To Simulated Operational Data of HTTR" Report IRI-131-99-011, TU-Delft, IRI, Hollanda, Mayıs 1999.
- [9] Nabeshima K., et.al., "Hybrid Monitoring System for High Temperature Gas Cooling reactor", *HCI International Conference on Human-Computer Interaction*, Münih Almanya, Ağustos 1999.
- [10] Türkcan E. and Versteegh J.G.E., "Neural Network Training by Extended Kalman Filtering For Detection of Signal/System Failures", *MARCON'98*, .66, Knoxville Tennessee A.B.D. , Mayıs 1998.
- [11] Takeda,T, et.al., "Development of Analytical 'ACCORD' for Incore and Plant Dynamics of High Temperature Gas-Cooled Reactor", *JAERI-Data/Code 96-032*, 1996, (Japonca).